

スーパスカラプロセサにおけるリカバリー方式

安里 彰 志村 浩也

富士通研究所

非順序実行を行うスーパスカラプロセサは、正確な割り込みを実現するためのリカバリー機構を備えていることが必要であり、その一手法として従来よりリオーダーバッファやフューチャファイルを用いた方式が提案されている。しかし性能向上のための有力な手段であるレジスタリネーミングを採用したプロセサで従来通りのリカバリー機構を実装すると、ハードウェア量が非常に大きくなる問題がある。我々は本論文で、レジスタリネーミングを行うプロセサにおいても少ないハードウェアコストで実現できるリカバリー方式を提案し、従来方式とのハードウェア量の比較を試みる。

A Recovery Method for Superscalar Processors

Akira Asato Kouya Shimura

FUJITSU Laboratories Ltd.

1015 Kamikodanaka Nakahara-ku, Kawasaki, Kanagawa 211

A processor using out-of-order execution should provide some recovery mechanism which can support precise interrupts, and a method with reorder-buffer and future-file has been proposed. But the hardware cost of such method increases too much in processors which adopt the register renaming mechanism. In this paper we propose a recovery method which needs lower hardware cost even in processors with register renaming. Then we estimate the actual hardware cost and compare it with other methods.

1 はじめに

汎用プロセッサの実行並列度を向上させるためのアーキテクチャの一つに、複数の命令実行パイプラインを用いて命令の並列実行を可能にしたスーパーカラアーキテクチャがある。その枠組の中でも、より高い性能を得るための種々の工夫が数多く提案されている [1]。その中でも効果の大きいものの一つに命令の out-of-order 実行がある。これはプログラム上の命令順序に拘らずに、オペランドが有効になり次第、命令の実行を開始する方式である。

out-of-order 実行方式を採用すると、命令の終了がプログラム順通りに行なわれる保証がなくなるため、いわゆる precise interrupt の問題が発生する。この問題を回避するためには、命令 A で割り込みが起こったとすれば、命令ストリーム上で A に先行する命令は全て実行が終了し、A 以降の命令は一つも終了してないようなプロセッサの状態(レジスタやメモリの内容)を導く機構が必要になる。これをリカバリー機構と呼ぶ。out-of-order 実行を採用したプロセッサでは、何らかのリカバリー機構が必須であり、いくつかの方式が提案されている。[2][3]

一方、スーパーカラプロセッサは複数のパイプラインを有することや、制御が複雑であることなどから、一般にハードウェアコストが大きいと考えられるので、性能向上のための機構であっても実装上のコストを十分に意識して設計することが重要である。特に上記のリカバリー機構はハードウェア量が相対的に大きいので、コンパクトなインプリメントが望まれる。

我々は本論文でリカバリーのための一方式を提案し、他方式とのハードウェア量の比較を試みる。2章では従来より提案されているリオーダーバッファおよびフューチャファイルを用いたリカバー方式を簡単に紹介し、3章で我々の方式を説明する。4章ではリカバリーに用いるテーブル群の最適なエントリ数についてシミュレーションの結果を踏まえて議論し、5章では4章で求めた値に基づいてハードウェア量を算定し他方式と比較する。

2 従来方式と問題点

2.1 文献 [2] のリカバリー方式

本節では基本的なリカバリー方式であり我々の方式にも関連深い、文献 [2] で提案されている、リオーダーバッファおよびフューチャファイルを用いたリカバリーについて述べる。

図 1 に、リオーダーバッファの概念を示す。リオーダーバッファの1個のエントリが1個の命令に対応し、top と tail の2個のレジスタによって指される間の領域が valid である。一つの命令がデコードされると、top レジスタの値がその命令を識別する id として与えられ、リオーダーバッファ中の top で指されるエントリの $\langle regN \rangle$ 領域にその命令のステーションレジスタの番号が格納され、top レジスタはインクリメントされる。やがて命令が実行されて結果が得られると、その結果はレジスタファイルに書き込まれず、リオーダーバッファ中のその命令の id をアドレスとするエントリの $\langle val \rangle$ 領域に格納される。また命令実行中に例外が発生すると、対応するエントリの $\langle exp \rangle$ 領域がそれを示す値に書き換わる。

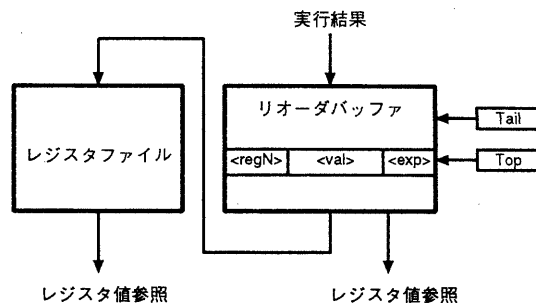


図 1 リオーダーバッファの構成

また、tail レジスタによって指されるエントリにある命令の結果が既に得られていて、かつ例外が起こっていなければ、その命令はコミット可能と見做され、結果がレジスタファイルに書き戻されるとともに、tail レジスタがインクリメントされる。即ち、top と tail によってリオーダーバッファは FIFO の如く振舞うと考えれば良い。

一方、tail エントリの命令で例外が起こっていた場合は、top と tail を共に 0 にしてリオーダーバッファをフラッシュすれば良く、これによってレジスタファイル上に直前の命令終了時の正しいプロセッサ状態が保証される。何故なら、エントリの割り当ては命令ストリームの順に行なわれるので、書き戻しも命令の順序通りに行なわれることになり、ある命令の結果が書き戻された時点のレジスタファイルの内容は、その命令までプログラムの実行が進んだ段階のプロセッサの状態を正しく反映しているからである。

同一レジスタを更新する複数の命令が同時にリオーダーバッファ中に存在する可能性がある。そのレジスタ値を参照する場合はこれらの中から最新の値を選び出す必要があるが、こういった連想的な参照のインプリメントは実装が困難である。この問題を解決するために提案されたのがフューチャファイルである。

図 2 にフューチャファイルの概念を示す。フューチャファイルはアーキテクチャで与えられたレジスタ個数分のエントリを持ち、各エントリの `<val>` 領域には、そのエントリ番号をデスティネーションレジスタの番号とする命令群のうち最新の命令の結果を格納する。フューチャファイルは普通のレジスタファイル構成をしているので、リオーダーバッファから参照する代わりにフューチャファイルからレジスタ値の参照を行なうようにすれば、前述のような連想的な参照の必要がなくなり、インプリメントは容易になる。

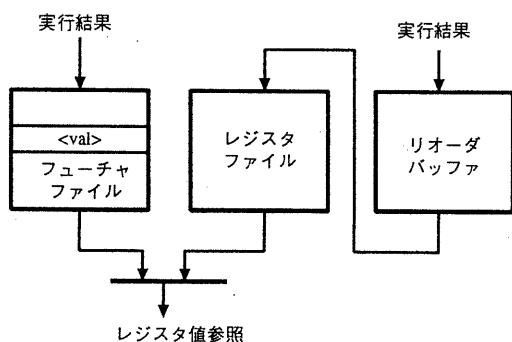


図 2 フューチャファイルの構成

2.2 レジスタリネーミング

プロセッサの高速化手法の一つにレジスタリネーミングがある。レジスタリネーミングは、命令間の依存や出力依存を解消させてプロセッサの性能を向上させる技術である。後で示すようにその効果は特に浮動小数点演算命令を多用するプログラムで顕著なので、是非とも取り入れたい手法である。

レジスタリネーミングをインプリメントするためには、アーキテクチャで与えられた個数以上の (通常は 2 のべき乗倍の) レジスタをハードウェアとして用意する必要がある。しかし、文献 [2] のリカバリー方式を採用していると、フューチャファイルのエントリ数をレジスタ数の増加に合わせて増やさねばならず、実装上のネックになる可能性がある。

3 我々の提案する方式

我々はレジスタリネーミングを行なうプロセッサにおいて、より小さいハードウェアコストでリカバリーを実現するための方式を本章で提案する。提案の骨子は、リネーミング前後のレジスタ番号の組でプロセッサの状態を表現するということである。

以下の各節では、我々の提案する方式による通常の命令実行時の動作および例外発生時のリカバリー動作について説明する。

3.1 デコード

図 3 にデコード時の動作を示す。同時にデコードできる命令数を N_{dec} とし、デコードの際には各命令にシリアル番号 $SN_0, SN_1, \dots, SN_{N_{dec}-1}$ を割り当てる。SN は命令ストリーム中の順序に従って割り当てられ、命令がコミットするまでの個々の命令の識別子として用いられる。SN 空間の要素数を N_{SN} とする。SN の割り当ては SN 管理ブロックが行なう。

デコード時にはまたソースレジスタおよびデスティネーションレジスタのリネーミングも行なう。リネーミングは、アーキテクチャで与えられた個数 ($2^{R_{arc}}$ 個) の要素を持つアーキテクチャ空間 (S_{arc}) から、 $2^{R_{ren}}$ 個の要素を持つリネーミング空間 (S_{ren}) へのマッピングであり、RN 管理ブロックが制御す

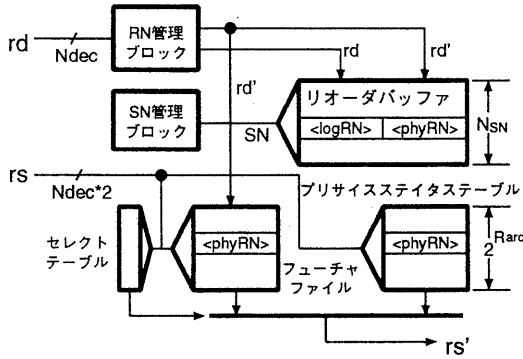


図3 我々の方式(デコード時)

る。

RN管理ブロックは S_{ren} の中からフリーな N_{dec} 個の番号を、デコードする各命令のデスティネーションレジスタ $rd_i (0 \leq i < N_{dec})$ それぞれに1個ずつ割り当てる。割り当てた番号を rd'_i とする。そして、フューチャファイルの rd'_i で指されるエントリの $\langle phyRN \rangle$ 領域に rd'_i を登録する。フューチャファイルは $2^{R_{arc}}$ 個のエントリを持ち、エントリは S_{ren} の要素を表現するための R_{ren} ビットの領域である。

また、それと同時にリオーダバッファの SN_i で指されるエントリの $\langle logRN \rangle$ 領域に rd'_i を、 $\langle phyRN \rangle$ 領域に rd'_i を格納する。リオーダバッファは N_{SN} 個のエントリを持つテーブルで、エントリ番号を SN とする命令の rd と rd' の組を保持するようにする。 $\langle logRN \rangle$ 領域は R_{arc} ビット、 $\langle phyRN \rangle$ 領域は R_{ren} ビットの長さである。

ソースレジスタのリネーミングは、ソースレジスタ番号 rs_i を、フューチャファイルまたはプリサイステータステーブルの、対応するエントリの値 rs'_i に変換することで行なう。プリサイステータステーブルはフューチャファイルと同じ構成をしている。両者の使い分けは、セレクトテーブルの rs_i に対応するエントリの値を用いる。セレクトテーブルの値の設定に関しては後述する。ただし図には現れていないが、同時にデコードされる命令間に依存関係があった場合は、その中で先行する命令の rd' が rs' として用いられることもある。

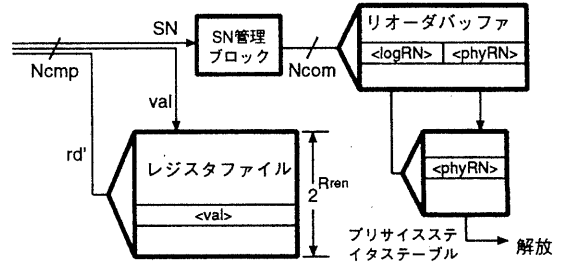


図4 我々の方式(終了・コミット時)

3.2 オペランドフェッチ

レジスタファイルの rs' で指される内容を読み込む。レジスタファイルは、 $2^{R_{ren}}$ 個のエントリを持つ。先行命令との間に依存関係があれば、それが解消するまでフェッチは待たされる。インプリメントによっては、演算結果を直接フォワーディングすることも当然考えられる。

3.3 命令実行の終了

図4に命令の実行終了およびコミット時の動作を示す。命令を実行して結果が生成されると、直ちにその命令の rd' で指されるレジスタファイルのエントリにライトする。この時に実行終了順序を意識する必要はない。1サイクルに終了できる命令数 N_{cmp} はレジスタファイルのライトポート数で抑えられる。また、レジスタライトと同時にSN管理ブロックに終了した命令のSNを通知する。

3.4 命令のコミット

SN管理ブロックが各サイクルにコミット可能な命令を in-order に決定し、それらのSNを出力する。1サイクルにコミットできる命令数を N_{com} とし、各SNを $SN_{com_0}, SN_{com_1}, \dots$ のように表す。各 SN_{com_i} を受けて、リオーダバッファ中の SN_{com_i} で指されるエントリの $\langle logRN \rangle$ 領域の値を $logRN_{com_i}$ 、 $\langle phyRN \rangle$ 領域の値を $phyRN_{com_i}$ として、プリサイステータステーブルの $logRN_{com_i}$ で指されるエントリに $phyRN_{com_i}$ を書き込み、同時にそれ

まで書かれていた値をフリーな番号として RN 管理ブロックに通知する。これによって、命令ストリーム上でそのサイクルにコミットした命令まで実行が進んだ段階におけるプロセサの状態が、リネーミング前後のレジスタ番号の組として、プリサイステイタステーブル上に保証される。

3.5 リカバリー

例外の発生はその命令の SN とともに SN 管理ブロックに通知される。SN 管理ブロックは、それに先行する命令が全てコミットした段階で、リカバリー処理の指示を出す。上述したように最近コミットした命令までのプロセサ状態がプリサイステイタステーブル上に保証されているので、リカバリー処理にあたっては、リオーダーバッファをフラッシュするとともに、図 3 におけるセレクトテーブルの値を全てのレジスタについてプリサイステイタステーブル側に向けるだけで良い。

セレクトテーブルは、立ち上げ時およびリカバリー時には全ビットがプリサイステイタステーブル側の値をとり、デスティネーションのリネーミングを一旦行なうと、対応するビットの値をフューチャファイル側に変更するように制御する。

4 テーブルサイズに関する考察

本章では、リカバリー機構を実現するために必要な各種テーブルの仕様を整理し、テーブルサイズを決定するためのいくつかのパラメタについて性能の観点から議論する。

4.1 各テーブルの仕様

文献 [2] のリカバリー方式を採用し、レジスタリネーミングを行なわないモデル (M1)、同様にレジスタリネーミングを行なうモデル (M2)、我々のリカバリー方式を採用したモデル (M3) のそれぞれについて、レジスタファイル (RF)、リオーダーバッファ (ROB)、フューチャファイル (FF)、プリサイステイタステーブル (PST) の仕様を表 1 にまとめた。ただし、M1, M2 のリオーダーバッファについては、インプリメントを考慮して、 $\langle regN \rangle$ 領域と

$\langle val \rangle$ 領域を別個のモジュールで実現することにした。なお、 $\langle exp \rangle$ 領域は無視した。また、M1 と M2 には PST は存在しないが、M2 に関しては PST と同様の構成の変換テーブルが明らかに必要なので、それを PST の欄に記した。表中の WL は語長を意味する。また、1 個の命令について 2 個のソースオペランドを仮定している。

これらのテーブルは全てレジスタファイル形式の SRAM で、エントリ数、エントリ長、リードポート数、ライトポート数をパラメタとして持つ。また、前章までの議論では整数レジスタと浮動小数点レジスタを特に区別しなかったが、以降では分けて扱うこととし、パラメタ上では $-int$, $-fp$ などを付加して区別する。両者のうち大きい方という意味で $-max$ という記述も用いる。上記のテーブルのうち、リオーダーバッファ以外は全て整数用と浮動小数点用のものが存在する。

表 1 から、M3 では ROB や FF のエントリ長が大幅に削減されていることが分かる。

4.2 シミュレーションによる評価

本節では、前節でまとめた各パラメタのうち、リネーミング空間のサイズである $2^{R_{ren}}$ とシリアル番号空間のサイズである N_{SN} の適切な値について、シミュレーション結果に基づいて考察する。シミュレーションは我々が開発したトレースベースシミュレータ Paratool [4] を用いて、以下のようなマシンモデル上で SPEC92 ベンチマークを走らせた場合の IPC を測定した。

- 8 命令フェッチ。アライン機能なし。
- 4 命令 issue。
- ALU とロードストアが 2 個、分岐ユニット, SFT, FADD, FMUL, FDIV が各 1 個。
- レイテンシはロードが 3, FADD, FMUL が 4, FDIV が 20, その他は全て 1 (サイクル)。
- BTB は 128 エントリ, 4way, 2bit 予測。
- キャッシュ I, D とも 32KB, ブロックサイズ 64B, 4way。

表1 各テーブルの仕様

	エントリ数			エントリ長(ビット)		
	M1	M2	M3	M1	M2	M3
RF_{int}	$2^{R_{arc-int}}$	$2^{R_{ren-int}}$	$2^{R_{ren-int}}$	WL	WL	WL
RF_{fp}	$2^{R_{arc-fp}}$	$2^{R_{ren-fp}}$	$2^{R_{ren-fp}}$	WL	WL	WL
ROB_{reg}	N_{SN}	N_{SN}	N_{SN}	R_{arc}	$R_{ren-max}$	$R_{arc} + R_{ren-max}$
ROB_{val}	N_{SN}	N_{SN}	なし	WL	WL	なし
FF_{int}	$2^{R_{arc-int}}$	$2^{R_{ren-int}}$	$2^{R_{arc-int}}$	WL	WL	$R_{ren-int}$
FF_{fp}	$2^{R_{arc-fp}}$	$2^{R_{ren-fp}}$	$2^{R_{arc-fp}}$	WL	WL	R_{ren-fp}
PST_{int}	なし	$2^{R_{arc-int}}$	$2^{R_{arc-int}}$	なし	WL	$R_{ren-int}$
PST_{fp}	なし	$2^{R_{arc-fp}}$	$2^{R_{arc-fp}}$	なし	WL	R_{ren-fp}

	リードポート数			ライトポート数		
	M1	M2	M3	M1	M2	M3
RF_{int}	$N_{dec-int} * 2$	$N_{dec-int} * 2$	$N_{dec-int} * 2$	N_{com}	N_{com}	$N_{cmp-int}$
RF_{fp}	$N_{dec-fp} * 2$	$N_{dec-fp} * 2$	$N_{dec-fp} * 2$	N_{com}	N_{com}	N_{cmp-fp}
ROB_{reg}	N_{com}	N_{com}	N_{com}	N_{dec}	N_{dec}	N_{dec}
ROB_{val}	N_{com}	N_{com}	なし	N_{cmp}	N_{cmp}	なし
FF_{int}	$N_{dec-int} * 2$	$N_{dec-int} * 2$	$N_{dec-int} * 2$	$N_{cmp-int}$	$N_{cmp-int}$	$N_{dec-int}$
FF_{fp}	$N_{dec-fp} * 2$	$N_{dec-fp} * 2$	$N_{dec-fp} * 2$	N_{cmp-fp}	N_{cmp-fp}	N_{dec-fp}
PST_{int}	なし	$N_{dec-int} * 2$	$N_{dec-int} * 2 + N_{com}$	なし	$N_{dec-int}$	N_{com}
PST_{fp}	なし	$N_{dec-fp} * 2$	$N_{dec-fp} * 2 + N_{com}$	なし	N_{dec-fp}	N_{com}

RF: レジスタファイル、ROB: リオーダーバッファ、FF: フューチャファイル、PST: プリサイスステイタステーブル

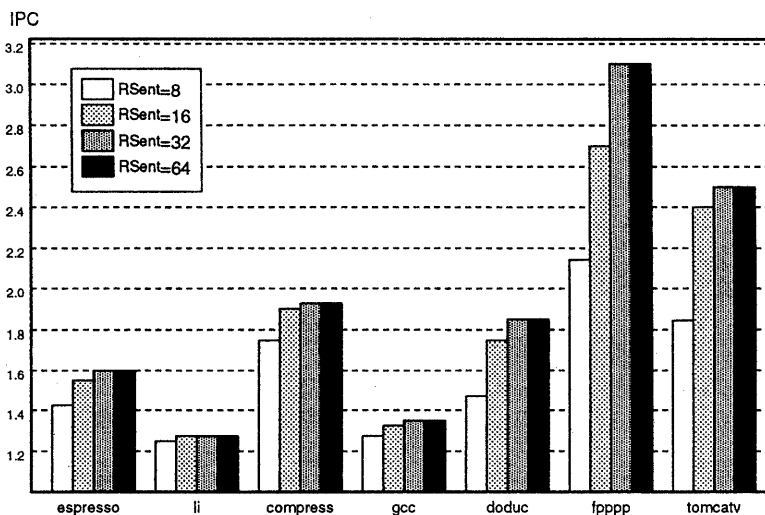


図5 RSエントリ数とIPC

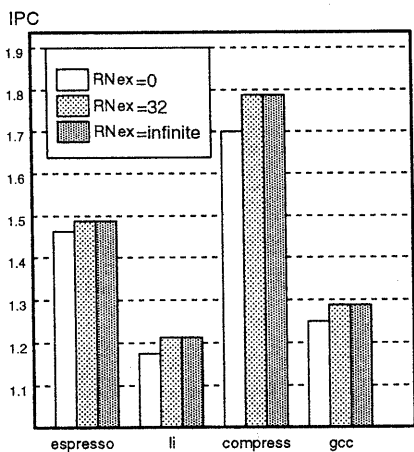


図6 リネーミングの効果(integer)

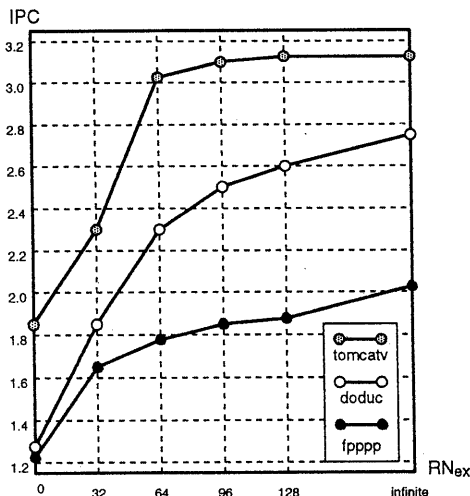


図7 リネーミングの効果(floating)

- キャッシュミスペナルティは3サイクル。(2次キャッシュを想定)

そして、評価のために次の項目を可変にした。

- リザーベーションステーションのエントリ数 (RS_{ent})
- リネーミングのための余分なレジスタ数 (RN_{ex-int} , RN_{ex-fp})

この2項目を前章の説明に照らして考えれば、前者は S_{SN} の要素数とほぼ等価であり、後者は $2^{R_{ren}}$ と $2^{R_{arc}}$ の差分に相当する数である。ここで、SparcアーキのSS2で測定した関係上 $2^{R_{arc}}$ は32なので、最適な RN_{ex} の値に32を加えた数を $2^{R_{ren}}$ として用いることにする。

はじめに、 RS_{ent} を8, 16, 32, 64と変化させた場合のシミュレーション結果を図5に示す(RN_{ex} は32に固定)。この結果から、 RS_{ent} は32あれば性能向上は飽和すると考えられるので、 S_{SN} の値として32を採用することにする。

次に整数ベンチマークにおいて、 RN_{ex-int} を、0, 32, 無限と変化させた場合の結果を図6に示す(RS_{ent} は32に固定)。この結果から、 RN_{ex-int} は32あれば充分であることが分かるので、 $2^{R_{ren-int}}$ は64とする。

次に浮動小数点ベンチマークにおいて、 RN_{ex-fp} を0から32刻みに128までと、更に無限にした場合についてシミュレーションした結果を図7に示す。ベンチマークによって振舞いが若干異なるが、 RN_{ex-fp} は64ないし96が適当であると考えられる。リネーミング空間は2のべき乗が望ましいので、 $2^{R_{ren-fp}}$ は128とする。

5 テーブルサイズの比較

本章では表1にまとめたテーブルのサイズを算定し、モデル毎の比較を試みる。簡単のためWL以外のパラメタは表2に示す値に固定する。表2の中で、 N_{SN} , $2^{R_{ren-int}}$, $2^{R_{ren-fp}}$ は前章の議論から導いた値であり、その他は一般的と思われる値にした。WLは、32bitアーキ、64bitアーキの双方について評価するため、32, 64の2通りの値を与えることにする。

表2 パラメタ値

N_{SN}	32	$2^{R_{ren-int}}$	64	$2^{R_{ren-fp}}$	128
N_{dec}	4	$N_{dec-int}$	4	N_{dec-fp}	2
$N_{cmp-int}$	4	N_{cmp-fp}	2	N_{com}	4

5.1 サイズ算定方法

CMOSテクノロジーを想定して、配線ピッチを $p(\mu\text{m})$ とし、リードポート数とライトポート数の合計が n 、エントリ数が 2^w 、語長が $b(\text{bit})$ のテーブルの面積を算定する。

まず、メモリセル1ビットの面積について述べる。我々が使用するようなポート数の多いテーブルでは、トランジスタの面積よりも配線の占める面積が支配的になる。配線は縦方向にビット線が n 本、横方向にワード線が n 本必要である。また、異なる配線層間の橋渡しや電源等のため約 n 本の配線が別途必要になる。これより、1ビットのメモリセルは、横が $2np$ 縦が np の矩形とする。

テーブル全体は図8のような構造であるとする。1エントリを形成するメモリセルは横方向に左右のメモリセル領域に半分ずつ並べることにする。従って、 $L_1 = np * 2^w$ 、 $L_2 = np * b$ になる。

ワード線ドライバの横幅 L_3 、アドレスデコーダの縦幅 L_4 、センスアンプの縦幅 L_5 については、経験的に以下の近似値を用いることにする。

$$L_3 = L_2, L_4 = nwp, L_5 = 50p$$

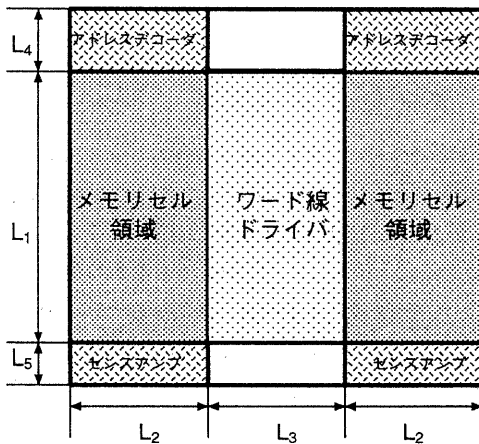


図8 テーブルの構造

5.2 算定結果と考察

上記の算定方法に基づき、各テーブルの面積を計算して、モデル毎に合計した結果を表3にまとめた。

表3 テーブルサイズの合計 (単位: mm^2)

	32ビットアーキ	64ビットアーキ
M1	$1.87p^2$	$3.69p^2$
M2	$4.46p^2$	$8.87p^2$
M3	$2.07p^2$	$3.59p^2$

テーブルサイズのみでの評価であり、それ以外のランダムな制御回路を考慮に入れていないという意味で不完全な面もあるが、文献[2]の方式のままレジスタリネーミングを行なうと(M2)リカバリ機構のハードウェアが倍以上になってしまいますが、我々の方式(M3)に従えばリネーミングしない場合(M1)と同等のコストで実現できることが示せたと考えらる。

6 おわりに

レジスタリネーミングを行なうスーバスカラブプロセッサにおけるハードウェアコストの少ないリカバリ方式を提案し、そこで用いるテーブル群のサイズを算定した。

本論文ではディレイに関して全く触れなかったが、ディレイは面積と並んでインプリメント時に考慮すべき重要なファクターであることは言うまでもない。実際、我々の方式ではデコードステージに行なうべき仕事が相対的に大きく、このディレイが全体のサイクルタイムを引き下げる可能性がある。今後はこうしたことを含めた総合的な評価を行なって、バランスのとれたプロセッサの姿を追求していきたいと考えている。

参考文献

- [1] M. Johnson, Superscalar Microprocessor Design, Prentice Hall, 1991.
- [2] J.E. Smith and A.R. Pleszkun, "Implementation of Precise Interrupts in Pipelined Processors.", Proc. of 12th ISCA(1985), pp 36-44.
- [3] W.W. Hwu and Y.N.Patt, "Checkpoint Repair for High-Performance Out-of-Order Execution Machines", Proc. of 14th ISCA(1987), pp 18-26.
- [4] 志村他, "スーバスカラブプロセッサの性能評価", 計算機アーキテクチャ研究会投稿中.